

Versuch V604: Beugung am Spalt

Martin Bieker
Julian Surmann

Durchgeführt am 10.06.2014
TU Dortmund

1 Einleitung

Im folgenden Versuch wird die Beugung von Licht an Einzelspalten und einem Doppelspalt untersucht. Unter Beugung versteht man die Abweichung der Ausbreitung von Licht hinter kleinen Öffnungen von den Gesetzen der geometrischen Optik.

2 Theorie

Im Fall der Beugung muss Licht als Welle betrachtet werden. Beugungsphänomene können dann z.B. mit dem Huygensschen Prinzip und dem Interferenzprinzip erklärt werden.

2.1 Beugung am Einfach-Spalt

Es sind zwei Formen der Beugung zu unterscheiden: Die Fresnel-Beugung und die Fraunhofer-Beugung (Abbildung ??).

Bei der Fresnel-Beugung befinden sich die Lichtquelle und der Beobachtungspunkt (Schirm) im Endlichen. Dabei interferieren im Beobachtungspunkt Strahlen, die unter verschiedenen Winkeln gebeugt wurden. Bei der Fraunhofer-Beugung liegt die Lichtquelle im Unendlichen, d.h. es werden parallele Strahlenbündel emittiert. Mathematisch ist der zweite Fall viel einfacher zu behandeln, auf die Fresnel-Beugung soll hier nicht weiter eingegangen. Der Länge des verwendeten Spaltes beträgt ein Vielfaches der Breite, sodass nur ein eindimensionales Beugungsbild entsteht. Es fällt eine ebene Welle mit der Feldstärke

$$A(z, t) = A_0 e^{i\left(\omega t - \frac{2\pi z}{\lambda}\right)} \quad (1)$$

pro Längeneinheit der Wellenfront aus der Z-Richtung ein. Um das Prinzip der Fraunhofer-Beugung zu verwenden, ist der Abstand Beugungsebene-Beobachtungsebene sehr viel größer als die Spaltbreite b .

Um die Amplitude des in Richtung ϕ gebeugten Lichtes zu berechnen, muss man über alle Strahlenbündel summieren, die von allen Orten der Spaltöffnung in Richtung ϕ emittiert werden. Zwei beliebige Strahlenbündel, die im Spalt eine Strecke x voneinander entfernt sind, haben aufgrund der Wegdifferenz zur Beobachtungsebene eine Phasendifferenz δ mit

$$\delta = \frac{2\pi s}{\lambda} = \frac{2\pi x \sin \phi}{\lambda} \quad (2)$$

Aufgrund der infinitesimal kleinen Breiten der Strahlenbündel geht in der Berechnung der Amplitude die Summe in ein Integral über:

$$B(z, t, \phi) = A_0 \int_0^b e^{i\left(\omega t - \frac{2\pi z}{\lambda} + \delta\right)} dx = A_0 e^{i\left(\omega t - \frac{2\pi z}{\lambda}\right)} \int_0^b e^{i\left(\frac{2\pi x \sin \phi}{\lambda}\right)} dx. \quad (3)$$

Durch Integration und Ausklammern ergibt sich über die Eulersche Formel

$$\sin \alpha = \frac{(e^{i\alpha} - e^{-i\alpha})}{2i} \quad (4)$$

der folgende Ausdruck:

$$B(z, t, \phi) = A_0 e^{i\left(\omega t - \frac{2\pi z}{\lambda}\right)} e^{i\left(\frac{\pi b \sin \phi}{\lambda}\right)} \frac{\lambda}{\pi \sin \phi} \sin \left(\frac{\pi b \sin \phi}{\lambda} \right). \quad (5)$$

Die Intensität des am Einfachspalt gebeugten Lichtes wird beschrieben durch

$$I(\phi) \propto B(\phi)^2 = A_0^2 b^2 \left(\frac{\lambda}{\pi b \sin \phi} \right)^2 \cdot \sin^2 \left(\frac{\pi b \sin \phi}{\lambda} \right). \quad (6)$$

Die durch Formel (6) beschriebene Beugungsfigur besitzt bei den Nulldurchgängen von Formel (5) Minima.

2.2 Beugung am Doppelspalt

Die Intensitätsverteilung $I(\phi)$ lässt sich analog zum Einfachspalt berechnen. Die Beugungsfigur des Doppelspaltes wird behandelt als Überlagerung zweier Einfachspalte, die den Abstand s zueinander besitzen. Für die Intensitätsverteilung ergibt sich

$$I(\phi) \propto B(\phi)^2 = 4 \cos^2 \left(\frac{\pi s \sin \phi}{\lambda} \right) \cdot \left(\frac{\lambda}{\pi b \sin \phi} \right)^2 \cdot \sin^2 \left(\frac{\pi b \sin \phi}{\lambda} \right). \quad (7)$$

Diese Intensitätsverteilung wird berechnet auf Grundlage der Intensitätsverteilung des Einfachspaltes (Formel (6)) und einer \cos^2 -Verteilung. Es ergeben sich zusätzliche Minima an den Stellen

$$\phi(k) = \arcsin \left(\frac{2k+1}{2s} \right) \cdot \lambda, \quad (8)$$

also an den Nullstellen der \cos^2 -Verteilung.

2.3 Fraunhofersche Beugung und Fourier-Transformation

Bei der Fraunhoferschen Beugung ist die Amplitudenverteilung auch auf allgemeine Weise möglich. $B(\phi)$ lässt sich als Fourier-Transformierte der Amplitudenverteilung der einfallenden Welle auffassen. Bei der Amplitudenverteilung handelt es sich hier um die Verteilung in der eugungsebene.

Die Fourier-Transformation formuliert das Huygenssche Prinzip mathematisch. Auch Beugung an zweidimensionalen Objekten lässt sich mit Hilfe der Fourier-Transformation einfach berechnen.

3 Aufbau

Eine Skizze des Versuchsaufbaus ist in Abbildung (??) gezeigt. Auf einer Schiene mit Längenskala sind ein He-Ne-Laser, eine Halterung für den Spalt und die verschiebbare Photodiode befestigt. Der Laser leuchtet auf den Spalt, der zwischen dem Laser und der Photodiode befestigt ist. Die Photodiode kann mit einer Auflösung von 1/100 mm über eine Strecke von 5 cm verschoben werden. Die Photodiode ist an einem empfindlichen Amperemeter angeschlossen.

4 Durchführung

Vor den Messungen wird das Beugungsobjekt so ausgerichtet, dass das Hauptmaximum möglichst mittig im Messbereich liegt und beide Nebenmaxima erster Ordnung ungefähr die gleiche Intensität haben.

4.1 Messungen mit dem Einfach-Spalt

Bei dem ersten Einzelspalt ($b = 0.075 \text{ mm}$) soll dessen Beugungsfigur punktweise ausgemessen werden. Die Schrittweite beträgt dabei 1 mm . Darüber hinaus soll die verwendete Spaltbreite mit einem Mikroskop vermessen werden. Das Mikroskop wird zunächst geeicht, dafür wird ein Objektmikrometer (Objektträger mit eingezätzter linearer Skala) vermessen.

Anschließend wird ein weiterer Spalt ($b = 0.15 \text{ mm}$) vermessen. Die Schrittweite soll um das Hauptmaximum herum erhöht werden.

4.2 Messung am Doppelspalt

Der Doppelspalt ($b = 0.15 \text{ mm}, g = 0.25 \text{ mm}$) wird mit einer Schrittweite von 1 mm vermessen, um das Hauptmaximum herum wird die Schrittweite auf 0.2 mm verringert.

5 Auswertung

5.1 Mikroskopische Vermessung der Spalte

Das in diesem Versuch zur Vermessung der Beugungsobjekte verwendete Mikroskop besitzt willkürlich unterteilte Skala. Daher muss dieses zunächst mit Hilfe eines Objektmikrometers geeicht werden. Als Umrechnungsfaktor f ergibt sich:

$$f = 3.53 \times 10^{-5} \frac{\text{m}}{\text{Einheit}}$$

Die gemessenen und umgerechneten Werte für die Spaltbreite b und den Abstand der Spalte beim Doppelspalt g befinden sich in Tabelle 1.

	$\frac{b}{\text{Einheit}}$	$\frac{b}{\text{m}}$	$\frac{g}{\text{Einheit}}$	$\frac{g}{\text{m}}$
Einzelspalt A	1.9	6.71×10^{-5}		
Einzelspalt B	3.8	1.34×10^{-4}		
Doppelspalt	4.6	1.63×10^{-4}	20.8	7.35×10^{-4}

Tabelle 1: Ergebnisse der Mikroskopischen Untersuchung

5.2 Beugungsmuster am Einzelspalt

Die an den Einzelspalten gemessenen Werte befinden sich in Tabelle 2. Von diesen Stromstärken muss noch der so genannte thermische Dunkelstrom

$$I_D = \text{nA}$$

abgezogen werden. Um die Messwerte mit der Theorie vergleichen zu können, werden die gemessenen Strecken x um die Position des 0. Maximums zentriert und in einen Winkel ϕ umgerechnet. Dabei gilt der Zusammenhang

$$\varphi \approx \frac{x - x_0}{L}$$

Der Abstand zwischen Schirm und Beugungsebene beträgt

$$L = \text{m}.$$

Diese Winkel und die korrigierten Stromstärken befinden sich ebenfalls in Tabelle 2. Die Abbildungen 3 und 2 zeigen den Photostrom in Abhängigkeit von φ .

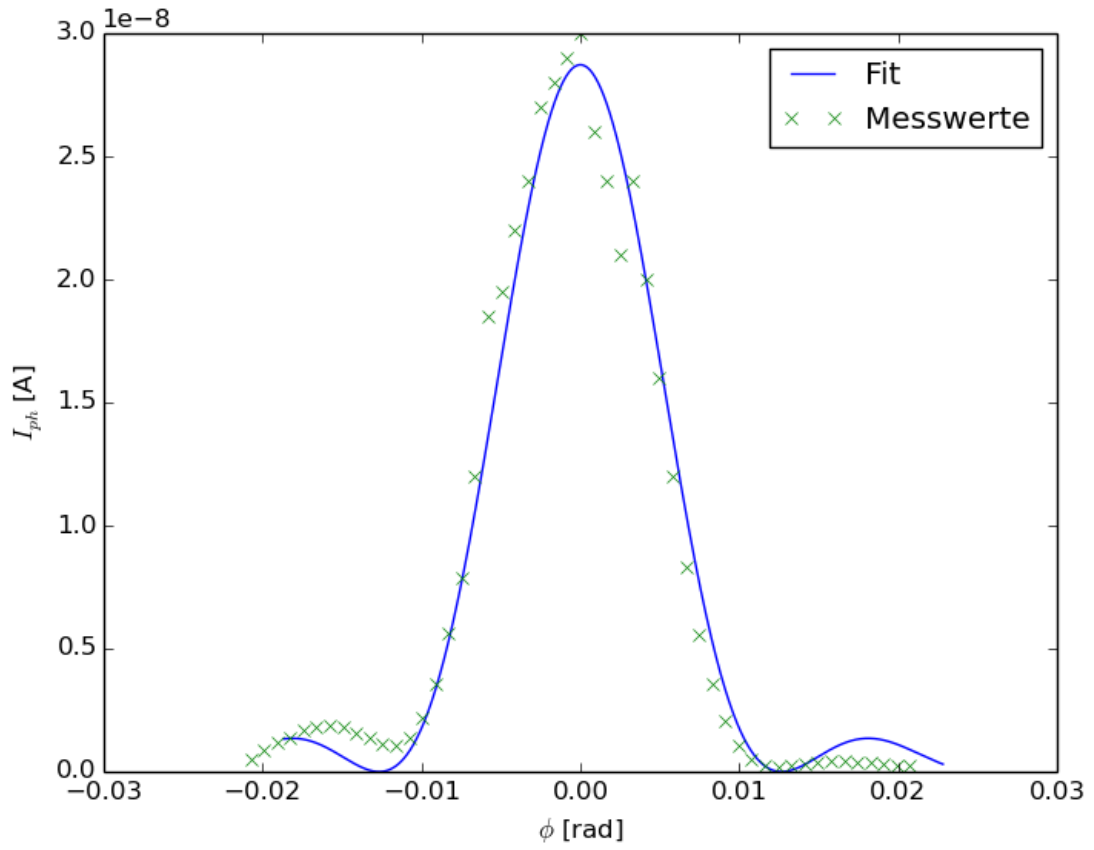


Abbildung 1: Beugungsmuster des Einzelspalts A ($b \approx \text{mm}$)

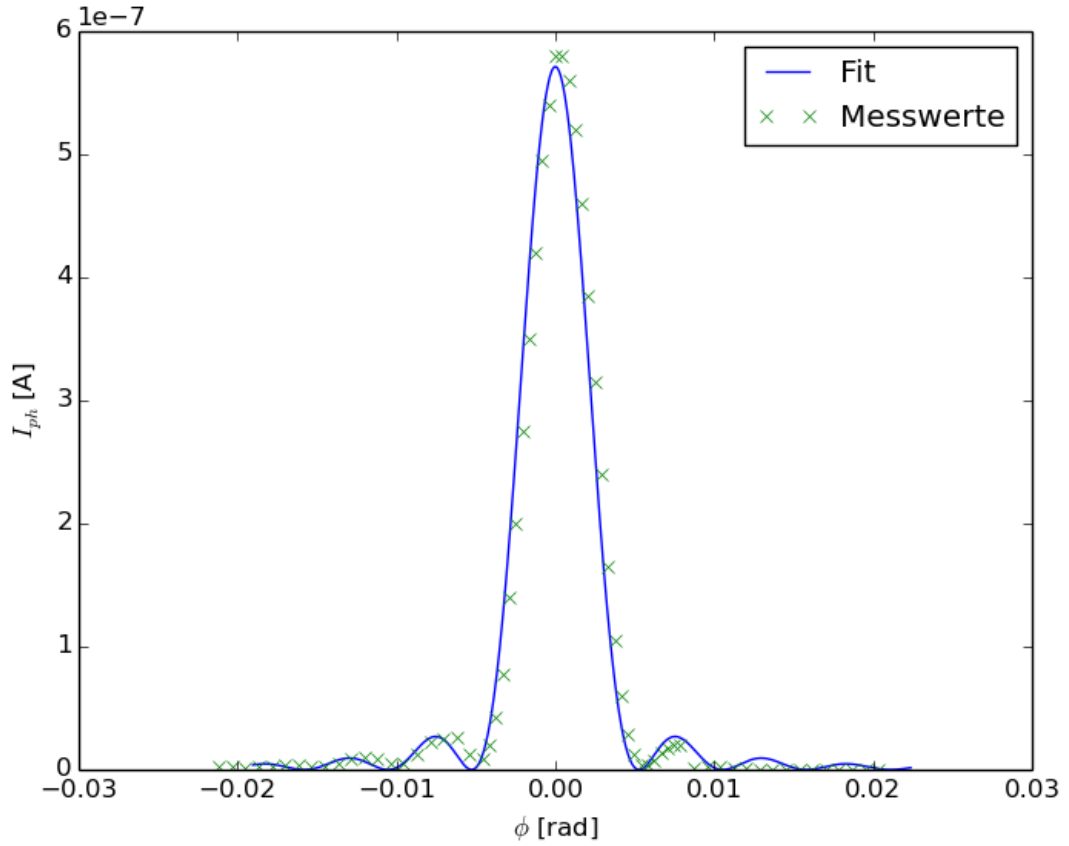


Abbildung 2: Beugungsmuster des Einzelspalts B ($b \approx \text{mm}$)

An diese Werte wird nun die Formel

$$I(\varphi) = A_0^2 b^2 \text{sinc}^2 \left(\frac{b \cdot \sin \varphi}{\lambda} \right) \quad (9)$$

Die Wellenlänge des verwendeten HeNe-Lasers beträgt

$$\lambda = 633 \text{ nm.}$$

Die nichtlineare Ausgleichsrechnung wurde mit PYTHON durchgeführt. Für die Regressionsparameter A_0 und b müssen dabei Startwerte angegeben werden. Für die Spaltbreite wurde dabei die im vorherigen Abschnitt mit dem Mikroskop gemessenen Werte verwendet. Der Amplitudenfaktor wurde aus dem Photostrom des 0. Maximums berechnet:

$$A_0 = \sqrt{\frac{I_{Max}}{b^2}}.$$

Die Ergebnisse der Regression finden sich in Tabelle 3 und die Ausgleichsfunktionen sind in den Abbildungen zu finden.

5.3 Beugungsmuster am Doppelspalt

Die Berechnung des Photostroms $I_p h$ und des Beugungswinkels φ wurden analog zum vorherigen Abschnitt durchgeführt. Die Ergebnisse befinden sich in Tabelle 4.

	$\frac{A_0}{\text{nA m}^{-2}}$	$\frac{g}{\text{m}}$
Einzelspalt A	1.9	6.71×10^{-5}
Einzelspalt B	3.8	1.34×10^{-4}

Tabelle 2: Regressionsergebnisse der Einzelspalte

Abbildung 4 zeigt den Photostrom in Abhängigkeit von φ

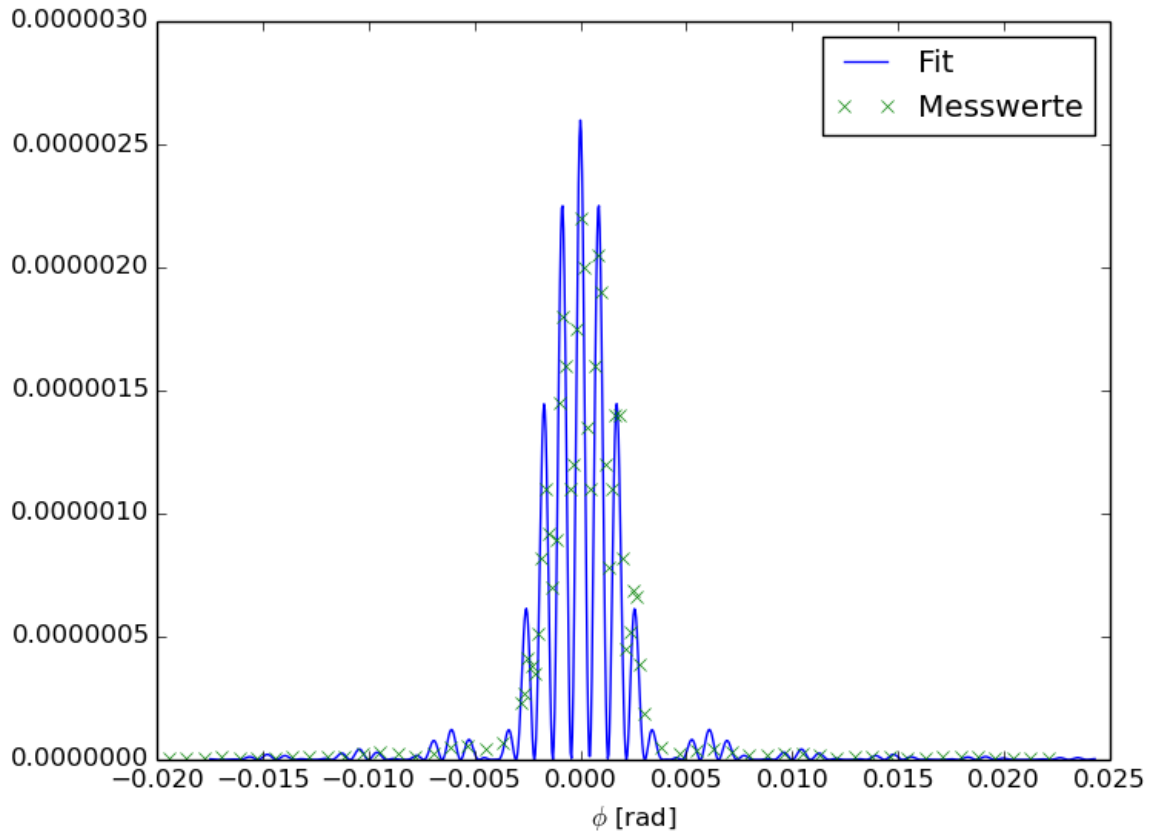


Abbildung 3: Beugungsmuster des Doppelspalts ($b \approx \text{mm}$ und $g \approx \text{mm}$)

An diese Messwerte soll die Theoriefunktion

$$I(\varphi) = 4 \cdot A_0^2 \cdot b^2 \cos^2 \left(\frac{\pi \cdot g \cdot \sin \varphi}{\lambda} \right) \cdot \text{sinc}^2 \left(\frac{b \cdot \sin \varphi}{\lambda} \right) \quad (10)$$

angepasst. Analog zum Vorgehen beim Einzelspalt werde als Startwerte für die Regressionsparameter g und b die mikroskopisch bestimmten Messergebnisse verwendet. Für den Am-

Amplitudenfaktor gilt:

$$A_0 = \sqrt{\frac{I_{Max}}{4 \cdot b^2}}.$$

Die Ergebnisse der Regression befinden sich in Tabelle 5. Um einen Vergleich zwischen Beugung am Einzel und am Doppelspalt zu ermöglichen zeigt Abbildung 4 beide Beugungsmuster. Die Amplituden sind dabei jeweils auf das 0. Maximum normalisiert.

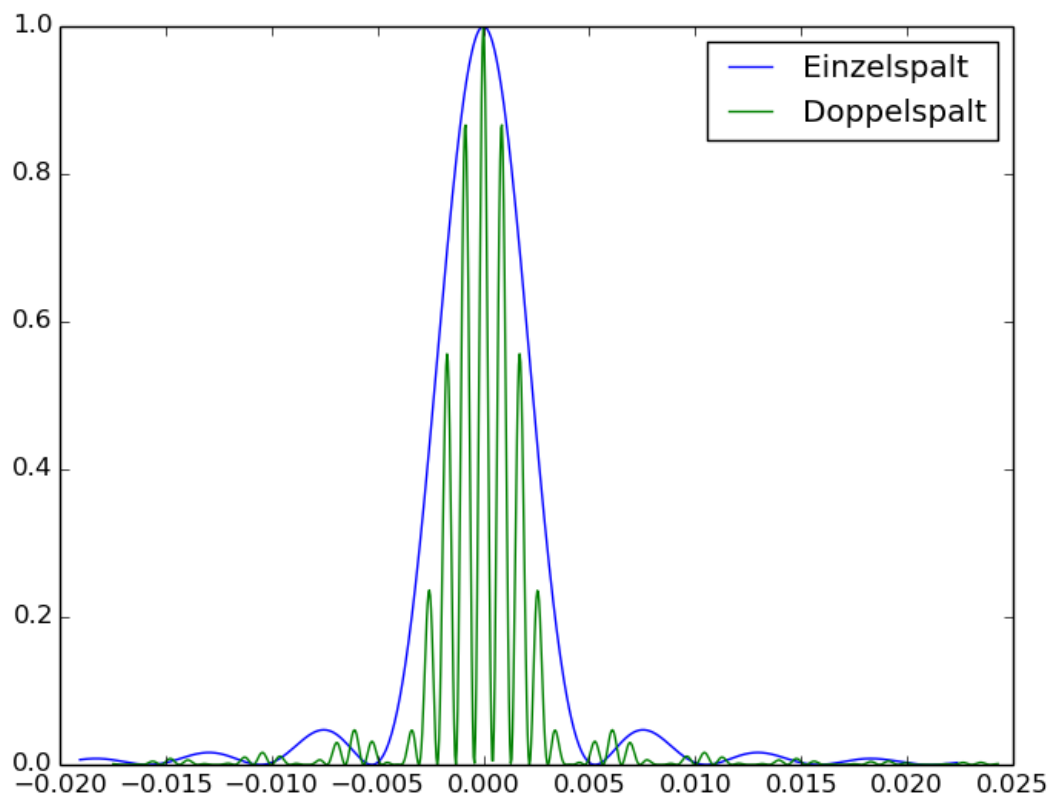


Abbildung 4: Vergleich zwischen Beugung am Doppelspalt und Beugung am Einzelspalt mit näherungsweise gleicher Spaltbreite b .

5.4

6 Diskussion

7 Quellen

- [1] Entnommen der Praktikumsanleitung der TU Dortmund.

Download am 16.06.14 unter:

<http://129.217.224.2/HOMEPAGE/PHYSIKER/BACHELOR/AP/SKRIPT/V406.pdf>

8 Anhang

- Auszug aus dem Messheft

$x \text{ m}^{-1}$	$I \text{ A}^{-1}$	φ	$I_{Ph} \text{ A}^{-1}$
0.000	4.8×10^{-10}	-0.0207	4.71×10^{-10}
0.001	9×10^{-10}	-0.0199	8.91×10^{-10}
0.002	1.2×10^{-9}	-0.0191	1.19×10^{-9}
0.003	1.4×10^{-9}	-0.0183	1.39×10^{-9}
0.004	1.7×10^{-9}	-0.0174	1.69×10^{-9}
0.005	1.8×10^{-9}	-0.0166	1.79×10^{-9}
0.006	1.9×10^{-9}	-0.0158	1.89×10^{-9}
0.007	1.8×10^{-9}	-0.0149	1.79×10^{-9}
0.008	1.6×10^{-9}	-0.0141	1.59×10^{-9}
0.009	1.4×10^{-9}	-0.0133	1.39×10^{-9}
0.010	1.15×10^{-9}	-0.0124	1.14×10^{-9}
0.011	1.1×10^{-9}	-0.0116	1.09×10^{-9}
0.012	1.4×10^{-9}	-0.0108	1.39×10^{-9}
0.013	2.2×10^{-9}	-0.00996	2.19×10^{-9}
0.014	3.6×10^{-9}	-0.00913	3.59×10^{-9}
0.015	5.65×10^{-9}	-0.0083	5.64×10^{-9}
0.016	7.9×10^{-9}	-0.00747	7.89×10^{-9}
0.017	1.2×10^{-8}	-0.00664	1.2×10^{-8}
0.018	1.85×10^{-8}	-0.00581	1.85×10^{-8}
0.019	1.95×10^{-8}	-0.00498	1.95×10^{-8}
0.020	2.2×10^{-8}	-0.00415	2.2×10^{-8}
0.021	2.4×10^{-8}	-0.00332	2.4×10^{-8}
0.022	2.7×10^{-8}	-0.00249	2.7×10^{-8}
0.023	2.8×10^{-8}	-0.00166	2.8×10^{-8}
0.024	2.9×10^{-8}	-0.00083	2.9×10^{-8}
0.025	3×10^{-8}	0	3×10^{-8}
0.026	2.6×10^{-8}	0.00083	2.6×10^{-8}
0.027	2.4×10^{-8}	0.00166	2.4×10^{-8}
0.028	2.1×10^{-8}	0.00249	2.1×10^{-8}
0.029	2.4×10^{-8}	0.00332	2.4×10^{-8}
0.030	2×10^{-8}	0.00415	2×10^{-8}
0.031	1.6×10^{-8}	0.00498	1.6×10^{-8}
0.032	1.2×10^{-8}	0.00581	1.2×10^{-8}
0.033	8.35×10^{-9}	0.00664	8.34×10^{-9}
0.034	5.6×10^{-9}	0.00747	5.59×10^{-9}
0.035	3.55×10^{-9}	0.0083	3.54×10^{-9}
0.036	2.1×10^{-9}	0.00913	2.09×10^{-9}
0.037	1.1×10^{-9}	0.00996	1.09×10^{-9}
0.038	5.3×10^{-10}	0.0108	5.21×10^{-10}
0.039	2.8×10^{-10}	0.0116	2.71×10^{-10}
0.040	2.2×10^{-10}	0.0124	2.11×10^{-10}
0.041	2.6×10^{-10}	0.0133	2.51×10^{-10}
0.042	3.4×10^{-10}	0.0141	3.31×10^{-10}
0.043	4.1×10^{-10}	0.0149	4.01×10^{-10}

0.044	4.5×10^{-10}	0.0158	4.41×10^{-10}
0.045	4.4×10^{-10}	0.0166	4.31×10^{-10}
0.046	4.1×10^{-10}	0.0174	4.01×10^{-10}
0.047	3.6×10^{-10}	0.0183	3.51×10^{-10}
0.048	3.3×10^{-10}	0.0191	3.21×10^{-10}
0.049	2.8×10^{-10}	0.0199	2.71×10^{-10}
0.050	2.4×10^{-10}	0.0207	2.31×10^{-10}

Tabelle 3: Messwerte für den Einzelspalt A

$x \text{ m}^{-1}$	$I \text{ A}^{-1}$	φ	$I_{Ph} \text{ A}^{-1}$
0.000	2.2×10^{-9}	-0.0212	2.19×10^{-9}
0.001	2.05×10^{-9}	-0.0203	2.04×10^{-9}
0.002	1.81×10^{-9}	-0.0195	1.8×10^{-9}
0.003	2.2×10^{-9}	-0.0187	2.19×10^{-9}
0.004	2.95×10^{-9}	-0.0178	2.94×10^{-9}
0.005	3.55×10^{-9}	-0.017	3.54×10^{-9}
0.006	3.15×10^{-9}	-0.0162	3.14×10^{-9}
0.007	2.6×10^{-9}	-0.0154	2.59×10^{-9}
0.008	3×10^{-9}	-0.0145	2.99×10^{-9}
0.009	5.1×10^{-9}	-0.0137	5.09×10^{-9}
0.010	8.3×10^{-9}	-0.0129	8.29×10^{-9}
0.011	1.01×10^{-8}	-0.012	1×10^{-8}
0.012	8.2×10^{-9}	-0.0112	8.19×10^{-9}
0.013	4.95×10^{-9}	-0.0104	4.94×10^{-9}
0.014	4.8×10^{-9}	-0.00954	4.79×10^{-9}
0.015	1.2×10^{-8}	-0.00871	1.2×10^{-8}
0.016	2.2×10^{-8}	-0.00788	2.2×10^{-8}
0.017	2.5×10^{-8}	-0.00705	2.5×10^{-8}
0.018	2.6×10^{-8}	-0.00622	2.6×10^{-8}
0.019	1.3×10^{-8}	-0.00539	1.3×10^{-8}
0.020	8.9×10^{-9}	-0.00456	8.89×10^{-9}
0.021	1.95×10^{-8}	-0.00415	1.95×10^{-8}
0.021	4.2×10^{-8}	-0.00373	4.2×10^{-8}
0.022	7.8×10^{-8}	-0.00332	7.8×10^{-8}
0.022	1.4×10^{-7}	-0.0029	1.4×10^{-7}
0.022	2×10^{-7}	-0.00249	2×10^{-7}
0.023	2.75×10^{-7}	-0.00207	2.75×10^{-7}
0.024	3.5×10^{-7}	-0.00166	3.5×10^{-7}
0.024	4.2×10^{-7}	-0.00124	4.2×10^{-7}
0.025	4.95×10^{-7}	-0.00083	4.95×10^{-7}
0.025	5.4×10^{-7}	-0.000415	5.4×10^{-7}
0.026	5.8×10^{-7}	0	5.8×10^{-7}
0.026	5.8×10^{-7}	0.000415	5.8×10^{-7}
0.026	5.6×10^{-7}	0.00083	5.6×10^{-7}

0.027	5.2×10^{-7}	0.001 24	5.2×10^{-7}
0.028	4.6×10^{-7}	0.001 66	4.6×10^{-7}
0.028	3.85×10^{-7}	0.002 07	3.85×10^{-7}
0.029	3.15×10^{-7}	0.002 49	3.15×10^{-7}
0.029	2.4×10^{-7}	0.0029	2.4×10^{-7}
0.030	1.65×10^{-7}	0.003 32	1.65×10^{-7}
0.030	1.05×10^{-7}	0.003 73	1.05×10^{-7}
0.030	6.05×10^{-8}	0.004 15	6.05×10^{-8}
0.031	2.85×10^{-8}	0.004 56	2.85×10^{-8}
0.032	1.2×10^{-8}	0.004 98	1.2×10^{-8}
0.032	3.8×10^{-9}	0.005 39	3.79×10^{-9}
0.033	3.6×10^{-9}	0.005 81	3.59×10^{-9}
0.033	7.8×10^{-9}	0.006 22	7.79×10^{-9}
0.034	1.35×10^{-8}	0.006 64	1.35×10^{-8}
0.034	1.8×10^{-8}	0.007 05	1.8×10^{-8}
0.035	2×10^{-8}	0.007 47	2×10^{-8}
0.035	2×10^{-8}	0.007 88	2×10^{-8}
0.036	1.55×10^{-9}	0.008 71	1.54×10^{-9}
0.037	2.2×10^{-9}	0.009 54	2.19×10^{-9}
0.038	2.4×10^{-9}	0.0104	2.39×10^{-9}
0.039	1.8×10^{-9}	0.0112	1.79×10^{-9}
0.040	8.8×10^{-10}	0.012	8.71×10^{-10}
0.041	3.55×10^{-10}	0.0129	3.46×10^{-10}
0.042	3.2×10^{-10}	0.0137	3.11×10^{-10}
0.043	5.05×10^{-10}	0.0145	4.96×10^{-10}
0.044	5.6×10^{-10}	0.0154	5.51×10^{-10}
0.045	4.2×10^{-10}	0.0162	4.11×10^{-10}
0.046	2.55×10^{-10}	0.017	2.46×10^{-10}
0.047	2.1×10^{-10}	0.0178	2.01×10^{-10}
0.048	2.8×10^{-10}	0.0187	2.71×10^{-10}
0.049	3.25×10^{-10}	0.0195	3.16×10^{-10}
0.050	3.1×10^{-10}	0.0203	3.01×10^{-10}

Tabelle 4: Messwerte für den Einzelspalt B

$x \text{ m}^{-1}$	$I \text{ A}^{-1}$	φ	$I_{Ph} \text{ A}^{-1}$
0.000	4×10^{-9}	-0.0194	3.99×10^{-9}
0.001	4.45×10^{-9}	-0.0186	4.44×10^{-9}
0.002	8.8×10^{-9}	-0.0178	8.79×10^{-9}
0.003	1.1×10^{-8}	-0.0169	1.1×10^{-8}
0.004	6.9×10^{-9}	-0.0161	6.89×10^{-9}
0.005	4.2×10^{-9}	-0.0153	4.19×10^{-9}
0.006	7.8×10^{-9}	-0.0144	7.79×10^{-9}
0.007	1.4×10^{-8}	-0.0136	1.4×10^{-8}
0.008	1.4×10^{-8}	-0.0128	1.4×10^{-8}
0.009	1.15×10^{-8}	-0.012	1.15×10^{-8}
0.010	1.55×10^{-8}	-0.0111	1.55×10^{-8}
0.011	2.65×10^{-8}	-0.0103	2.65×10^{-8}
0.012	3.25×10^{-8}	-0.009 46	3.25×10^{-8}
0.013	2.4×10^{-8}	-0.008 63	2.4×10^{-8}
0.014	1.45×10^{-8}	-0.0078	1.45×10^{-8}
0.015	2.5×10^{-8}	-0.006 97	2.5×10^{-8}
0.016	4.8×10^{-8}	-0.006 14	4.8×10^{-8}
0.017	5.5×10^{-8}	-0.005 31	5.5×10^{-8}
0.018	4.2×10^{-8}	-0.004 48	4.2×10^{-8}
0.019	7×10^{-8}	-0.003 65	7×10^{-8}
0.020	2.3×10^{-7}	-0.002 82	2.3×10^{-7}
0.020	2.7×10^{-7}	-0.002 66	2.7×10^{-7}
0.020	4.1×10^{-7}	-0.002 49	4.1×10^{-7}
0.021	3.8×10^{-7}	-0.002 32	3.8×10^{-7}
0.021	3.5×10^{-7}	-0.002 16	3.5×10^{-7}
0.021	5.1×10^{-7}	-0.001 99	5.1×10^{-7}
0.021	8.2×10^{-7}	-0.001 83	8.2×10^{-7}
0.021	1.1×10^{-6}	-0.001 66	1.1×10^{-6}
0.022	9.2×10^{-7}	-0.001 49	9.2×10^{-7}
0.022	7×10^{-7}	-0.001 33	7×10^{-7}
0.022	8.95×10^{-7}	-0.001 16	8.95×10^{-7}
0.022	1.45×10^{-6}	-0.000 996	1.45×10^{-6}
0.022	1.8×10^{-6}	-0.000 83	1.8×10^{-6}
0.023	1.6×10^{-6}	-0.000 664	1.6×10^{-6}
0.023	1.1×10^{-6}	-0.000 498	1.1×10^{-6}
0.023	1.2×10^{-6}	-0.000 332	1.2×10^{-6}
0.023	1.75×10^{-6}	-0.000 166	1.75×10^{-6}
0.023	2.2×10^{-6}	0	2.2×10^{-6}
0.024	2×10^{-6}	0.000 166	2×10^{-6}
0.024	1.35×10^{-6}	0.000 332	1.35×10^{-6}
0.024	1.1×10^{-6}	0.000 498	1.1×10^{-6}
0.024	1.6×10^{-6}	0.000 664	1.6×10^{-6}
0.024	2.05×10^{-6}	0.000 83	2.05×10^{-6}
0.025	1.9×10^{-6}	0.000 996	1.9×10^{-6}

0.025	1.2×10^{-6}	0.001 16	1.2×10^{-6}
0.025	7.8×10^{-7}	0.001 33	7.8×10^{-7}
0.025	1.1×10^{-6}	0.001 49	1.1×10^{-6}
0.025	1.4×10^{-6}	0.001 66	1.4×10^{-6}
0.026	1.4×10^{-6}	0.001 83	1.4×10^{-6}
0.026	8.2×10^{-7}	0.001 99	8.2×10^{-7}
0.026	4.5×10^{-7}	0.002 16	4.5×10^{-7}
0.026	5.2×10^{-7}	0.002 32	5.2×10^{-7}
0.026	6.85×10^{-7}	0.002 49	6.85×10^{-7}
0.027	6.6×10^{-7}	0.002 66	6.6×10^{-7}
0.027	3.9×10^{-7}	0.002 82	3.9×10^{-7}
0.027	1.85×10^{-7}	0.002 99	1.85×10^{-7}
0.028	5.2×10^{-8}	0.003 82	5.2×10^{-8}
0.029	2.6×10^{-8}	0.004 65	2.6×10^{-8}
0.030	3.9×10^{-8}	0.005 48	3.9×10^{-8}
0.031	4.2×10^{-8}	0.006 31	4.2×10^{-8}
0.032	2.9×10^{-8}	0.007 14	2.9×10^{-8}
0.033	1.65×10^{-8}	0.007 97	1.65×10^{-8}
0.034	1.8×10^{-8}	0.008 80	1.8×10^{-8}
0.035	2.6×10^{-8}	0.009 63	2.6×10^{-8}
0.036	2.55×10^{-8}	0.010 50	2.55×10^{-8}
0.037	1.6×10^{-8}	0.011 30	1.6×10^{-8}
0.038	8.4×10^{-9}	0.012 10	8.39×10^{-9}
0.039	1.05×10^{-8}	0.012 90	1.05×10^{-8}
0.040	1.45×10^{-8}	0.013 80	1.45×10^{-8}
0.041	1.2×10^{-8}	0.014 60	1.2×10^{-8}
0.042	5.5×10^{-9}	0.015 40	5.49×10^{-9}
0.043	4.8×10^{-9}	0.016 30	4.79×10^{-9}
0.044	1.05×10^{-8}	0.017 10	1.05×10^{-8}
0.045	1.4×10^{-8}	0.017 90	1.4×10^{-8}
0.046	1×10^{-8}	0.018 80	9.99×10^{-9}
0.047	4.35×10^{-9}	0.019 60	4.34×10^{-9}
0.048	4.2×10^{-9}	0.020 40	4.19×10^{-9}
0.049	6.9×10^{-9}	0.021 20	6.89×10^{-9}
0.050	6.8×10^{-9}	0.022 10	6.79×10^{-9}

Tabelle 5: Messwerte für den Doppelspalt